

P14-2002-239

А. Ю. Дидақ, Л. И. Иванов¹, В. К. Семина,
А. Л. Суворов², А. С. Федотов², Ю. Н. Чеблуков²,
В. А. Алтынов

**ВЛИЯНИЕ ОБЛУЧЕНИЯ ТЯЖЕЛЫМИ ИОНАМИ
ВЫСОКИХ ЭНЕРГИЙ НА СТРУКТУРНЫЕ
ИЗМЕНЕНИЯ В АМОРФНЫХ СПЛАВАХ**

Направлено в журнал «Вопросы атомной науки и техники.
Серия: физика радиационных повреждений
и радиационное материаловедение»

¹Институт металлургии им. А. А. Байкова РАН

²ГНЦ РФ «Институт теоретической и экспериментальной физики»,
Москва

1. ВВЕДЕНИЕ

Исследования структуры и других свойств аморфных металлических сплавов при облучении тяжелыми ионами представляют значительный интерес по целому ряду причин. Прежде всего, явления, вызванные облучением, интересны, поскольку развиваются в неупорядоченных системах, при отсутствии дальнего порядка в расположении атомов.

Изучению аморфных сплавов при облучении и послерадиационной обработке посвящено достаточно большое количество работ [1-7]. Тем не менее, большой ясности в понимании основных закономерностей не установлено. Основные выводы из работ [1-7]:

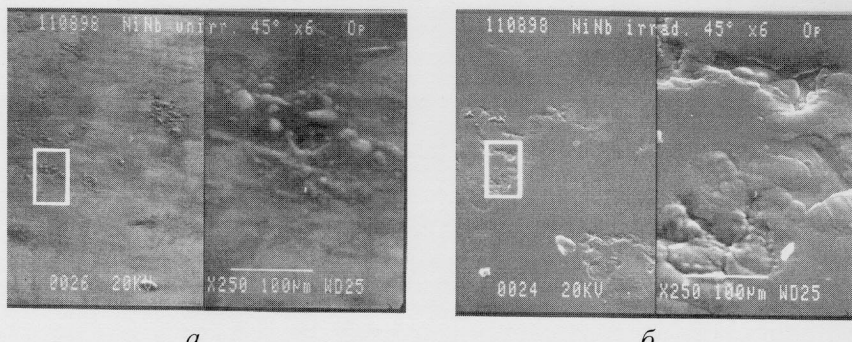
- 1) при облучении аморфных сплавов происходит увеличение размеров образца в направлениях, перпендикулярных падающему ионному пучку, и сокращение в направлении пучка;
- 2) объем образца при облучении не меняется;
- 3) процессы распыления поверхности практически отсутствуют (отметим, что температура образца в этих работах не превышала 15 К).

Необходимо отметить, что детальных исследований влияния облучения тяжелыми ионами с высокими неупругими потерями энергии не проводилось.

Цель этой работы - изучение закономерностей основных явлений, вызванных облучением тяжелыми ионами с предельно высокими удельными ионизационными потерями энергии в диапазоне флюенсов в аморфных металлических сплавах $Ni_{58}Nb_{42}$ и $Fe_{77}Ni_2Si_{14}B_7$. К таким явлениям относятся: распыление (испарение) исходного сплава, изменение структуры поверхности, процессы типа распускания и т.д.

2. МЕТОДИКА ЭКСПЕРИМЕНТА

Образцы аморфных сплавов $\text{Ni}_{58}\text{Nb}_{42}$ и $\text{Fe}_{77}\text{Ni}_2\text{Si}_{14}\text{B}_7$, полученные стандартным образом и подготовленные для облучения, были облучены ионами ^{86}Kr с энергией 245 МэВ флюенсами $F \cdot t = 10^{13}$, 10^{14} и 10^{15} ион/см 2 или ионами ^{209}Bi с энергией 705 МэВ флюенсами $F \cdot t = 10^{12}$ и 10^{13} ион/см 2 . Температура облучения не превышала 100°C, поскольку образцы крепились к поверхности охлаждаемой проточной водой подложки теплопроводящим клеем. Облучение было выполнено на установке ионного облучения материалов на ускорителе тяжелых ионов У-400 ЛЯР им. Г.Н.Флерова, описанной в работах [8, 9]. Средний поток ионов не превышал 5×10^{10} ион/см $^2 \cdot$ с. Для достижения однородного облучения по поверхности использовались системы сканирования пучка по вертикали и горизонтали. При изучении изменений структуры поверхности облученных образцов аморфных сплавов применялись методы сканирующей электронной (СЭМ) и тунNELьной (СТМ) микроскопии.



a

б

Рис.1. Поверхность аморфного сплава $\text{Ni}_{58}\text{Nb}_{42}$: *a* - необлученная поверхность; *б* - поверхность, облученная ионами ^{86}Kr с энергией 245 МэВ до флюенса $F \cdot t = 1 \times 10^{15}$ ион/см 2 . На правой части фотографий *a* и *б* показаны выделенные области с увеличением в 6 раз больше, чем левые



Рис.2. Структура поверхности образца сплава Ni₅₈Nb₄₂, частично перекрытого фольгой, поглощающей ионы криптона (левая часть), и облученного ионами ⁸⁶Kr с энергией 245 МэВ до флюенса $F \cdot t = 1 \times 10^{15}$ ион/см². Видна граница раздела

На рис.1 представлены фотографии структуры поверхности образца аморфного сплава Ni₅₈Nb₄₂ до (а) и после (б) облучения, полученные методом СЭМ. На поверхности исходной фольги имеются застывшие капли расплава (неоднородности структуры), образующиеся при изготовлении аморфной ленты. Видно, что после облучения поверхность аморфного сплава претерпела заметные изменения. На рис.2 представлена фотография образца аморфного сплава Ni₅₈Nb₄₂, полученная с использованием СЭМ, а облучение осуществлялось через "маску" в виде фольги толщиной, превышающей пробег ионов ⁸⁶Kr с энергией 245 МэВ и ионов ²⁰⁹Bi с энергией 705 МэВ. На левой части фотографии видна необлученная область, перекрытая "маской", справа - облученная часть образца. Хорошо видна граница раздела обеих зон.

На рис.3 представлена структура поверхности аморфного сплава Ni₅₈Nb₄₂ в исходном состоянии и после облучения ионами ⁸⁶Kr с энергией 245 МэВ до флюенса $F \cdot t = 1 \times 10^{15}$ ион/см², полученная методом СТМ высокого разрешения.

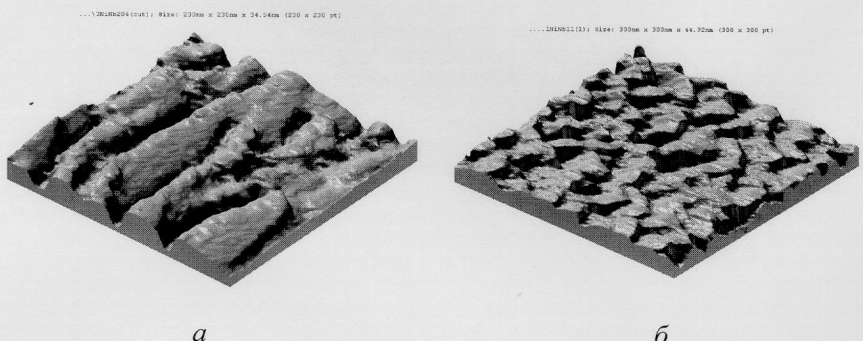


Рис.3. Поверхность аморфного сплава Ni₅₈Nb₄₂ в исходном состоянии (а - размер изображения 300 нм×300 нм×44,92 нм) и после облучения ионами ⁸⁶Kr с энергией $E=245$ МэВ до флюенса $F\cdot t=1\times 10^{15}$ ион/см² (б - размер изображения 230 нм×230 нм×34,54 нм). Изображение получено с помощью СТМ

3. ОБСУЖДЕНИЕ РЕЗУЛЬТАТОВ

Как видно, после облучения при практически комнатной температуре ($T<300$ К) аморфные сплавы претерпели сильное изменение. В частности, как это хорошо видно, участки поверхности с "каплями расплава" практически сохранили свое положение на поверхности, а лежащая рядом, более гладкая поверхность за счет распускания образца сместились в направлении падения ионного пучка так, что "капли расплава" оказались как бы погруженными в окружающие их распухшие области образцов. Отсюда можно сделать вывод о том, что так называемые "капли расплава" имеют другую структуру и, возможно, иной элементный состав.

Измеренная степень распускания образцов составляет при флюенсе ионов ⁸⁶Kr (245 МэВ) $F\cdot t=1\times 10^{15}$ ион/см² примерно $\Delta V/V\sim 15\%$. Это обстоятельство кажется довольно-таки странным, так как происходит при низкой температуре облучения, при достижении относительно низких доз

повреждений и в материале, в котором нет дальнего порядка в расположении атомов, т.е. нет кристаллической решетки.

Следует также отметить, что изменился и химический состав облученных образцов, оцененный методом рентгенофлюоресцентного анализа. В частности, для флюенса $F \cdot t = 1 \times 10^{15}$ ион/см² состав сплава выражается как $\text{Ni}_{58-x}\text{Nb}_{42+x}$, где $x=1,60$, а для $F \cdot t = 1 \times 10^{14}$ ион/см² $x=1,48$. Заметим, что обнаруженное различие относительно небольшое, тем не менее оно находится за пределом ошибок измерения состава. Следует заметить также, что при изменении состава изучаемая область достаточно большая и по площади и по глубине, в изучаемой области имеются вкрапления "капель расплава" явно другого элементного состава (см. рис.1 и 2), и область изменения состава по глубине также не может быть большой. По-видимому, толщина слоя, в котором изменяется состав, определяется зоной испарения атомов сплава при облучении ионами.

То есть можно сделать вывод о том, что столь значительное изменение распределения атомов на поверхности при относительно небольших флюенсах облучения означает, что помимо прочих процессов при облучении происходит более интенсивное испарение атомов Ni по сравнению с испарением атомов Nb (см. ниже).

На рис.3 приведено изображение структуры поверхности образцов аморфного сплава $\text{Ni}_{58}\text{Nb}_{42}$, полученное с использованием сканирующей туннельной микроскопии высокого разрешения. Видно, что происходит ступенчатое, а не плоскостное изменение объема. Кроме того, при примерно одинаковых площадях сканирования СТМ (230×230 нм и 300×300 нм) и примерно одинаковых перепадах высоты (34,54 и 44,92 нм) необлученные образцы имеют более развитую структуру по сравнению с облученными образцами. При этом поверхность облученных образцов имеет ярко выраженную "чешуйчатую" структуру, что и обуславливает

термин "ступенчатое увеличение объема" сплава Ni₅₈Nb₄₂ при облучении. Аналогичное изменение структуры поверхности было обнаружено и для аморфного сплава Fe₇₇Ni₂Si₁₄B₇.

Отметим, что, по расчетам по компьютерной программе SRIM-2000, проективный пробег ионов ⁸⁶Kr (245 МэВ) в сплаве Ni₅₈Nb₄₂ (плотность сплава $\rho_i=8,54 \text{ г/см}^3$, пороговая энергия смещения атомов $E_d=30-40 \text{ эВ}$) составляет $R_p=13,4 \text{ мкм}$. Средняя толщина исходных образцов, X , равнялась $\approx 20 \text{ мкм}$. Т.к. $R_p < X$, это приводит к изгибу образца при облучении, вызванном механическими напряжениями, возникающими в зоне остановки ионов криптона вблизи пика смещений - брэгговского пика.

Удельные ионизационные потери энергии ионов криптона составляют $(dE/dx)_{inel}=24 \text{ МэВ/мкм}$, а сечение дефектообразования - $\sigma_d=4\times 10^{-17} \text{ сна}\cdot\text{см}^2/\text{ион}$. Следовательно, при флюенсе облучения $F_1\cdot t=10^{15} \text{ ион/см}^2$ доза облучения на входе в мишень составляет $D_1=\sigma_d\cdot(F_1\cdot t)=0,04 \text{ сна}$, а при флюенсе $F_2\cdot t=10^{14} \text{ ион/см}^2$ - $D_2=\sigma_d\cdot(F_2\cdot t)=0,004 \text{ сна}$. Как видно, указанные флюенсы облучения и дозы радиационных повреждений являются малыми, а вызванные ими явления (изменения структуры поверхности и распускание образцов) - значительными.

Имеющиеся теоретические представления (см., например, работы [10-17]) позволяют оценить температуру в треке тяжелого иона.

В работе [10] температура на оси трека иона в аморфном металле при облучении тяжелыми ионами рассчитывается по формуле

$$T_i(0)=\{4\cdot h\cdot S^2\cdot N\cdot\sigma_0\cdot\alpha\cdot r_0^2\cdot T_0^{1/2}\{(T_0/E_F)^{1.5}-1\}/(9\cdot a\cdot\beta)\}^{1/2}+T_{\text{нач}}, \quad (1)$$

где S - скорость звука в аморфном металле, h - постоянная Планка, a - период решетки, N - атомная плотность для материала мишени,

$\sigma_0 = 2 \cdot \pi \cdot a_0^2$ - сечение рассеяния электрона на атоме мишени, a_0 - боровский радиус, r_0 - начальный радиус области возбужденных электронов с температурой T_0 - исходной электронной температурой в возмущенной области; $\alpha = 0,05 \text{ эВ}^{-1}$, $\beta = \alpha\gamma/(3\alpha+2b)$, $\gamma = 0,033 \text{ см}^2/(\text{с}\cdot\text{эВ}^{3/2})$ (для железа), $b = 0,1 \text{ эВ}^{-1}$, E_F - энергия Ферми, $T_{\text{наг}}$ - температура облучения образца.

В работе [11] развивается модель теплового пика - теплового клина, основанная на более раннем подходе (см. работы [12, 13]). В этом случае для вычисления температуры в треке иона вводится система связанных уравнений вида

$$C_e(dT_e/dt) = VK_e \sqrt{T_e} - \alpha(T_e - T_i) + A(\rho, t), \quad (2a)$$

$$C_i(dT_i/dt) = VK_i \sqrt{T_i} + \alpha(T_e - T_i). \quad (2b)$$

Параметры C_e и C_i - удельные теплоемкости электронного газа и решетки, K_e и K_i - теплопроводности электронного газа и решетки. Параметр α - константа электрон-фононного взаимодействия. В общем случае все эти константы зависят от температуры.

В основополагающих работах [12, 13] распределением электронной температуры вводится в теорию и имеет вид

$$T_e^0(\rho) = 4(dE/dx)_{\text{inel}}/(\pi C_e \rho_0^2) \cdot \exp(-\rho^2/\rho_e^2). \quad (3)$$

В случае, когда можно пренебречь зависимостью параметров C_e , C_i , K_e и K_i от температуры, решение системы уравнений (2) можно представить в виде

$$T_i(\rho, t) = \alpha (dE/dx)_{\text{inel}}/(2\pi C_e C_i) \cdot \int_0^\infty \{\exp(-\omega_1 t) - \exp(-\omega_2 t)\} \cdot \exp[-(k\rho_e)^2] J_0(k\rho) k dk / (\omega_2 - \omega_1). \quad (4)$$

Как утверждается в работе [13], ионы решетки не успевают образовать статистически равновесный ансамбль, поэтому введение параметров решетки и электронов, зависящих от температуры, не совсем

точно. Параметры ω_1 и ω_2 , входящие в выражение (4), приведены в работе [12].

Наиболее простое выражение для оценки температуры имеет вид [14, 15]:

$$T_i = (dE/dx)_{inel}/(\pi R_c^2 C_i \rho_i), \quad (5)$$

где R_c - радиус трека.

В работах [16, 17] температура в ионном треке в зависимости от времени приводится в следующей форме:

$$T_{tr}(r, t) = S_{inel}/(4 \cdot \pi K_i \cdot t) \exp[-(C_V r^2)/(4 \cdot K_i \cdot t)] + T_{нач}. \quad (6)$$

Используя выражение (6) с параметрами $K_i=54$ Вт/(м·К) и $C_V=C_i\rho_i$, где $C_i \approx 368$ Дж/(кг·К) и $\rho_i=8540$ кг/м³, можно вычислить температуру в треке тяжелого иона в зависимости от расстояния от его оси в различные моменты времени. Эти зависимости представлены на рис.4. Видно, что температура на оси трека в период времени до 5×10^{-12} с превышает не только температуру плавления сплава, но и его температуру испарения.

Все оценки температур по формулам (1)-(5) в области трека тяжелого иона Kr также дают значения $T_i > 4000$ К на его оси и позволяют сделать вывод, что они существенно превосходят температуры плавления и испарения аморфного сплава Ni₅₈Nb₄₂, а значит, его температуру кристаллизации.

Образцы, облученные ионами ²⁰⁹Bi в энергией 705 МэВ до флюенсов 10^{12} и 10^{13} ион/см², были также изучены методом СТМ, но в связи с тем, что исходная структуру поверхности не была достаточно гладкой, измерить диаметр кратеров на поверхности не удалось. При флюенсе облучения 10^{13} ион/см² так же, как в случае облучения ионами ⁸⁶Kr, был обнаружен изгиб образца, обусловленный механическими напряжениями, возникающими в зоне остановки ионов.

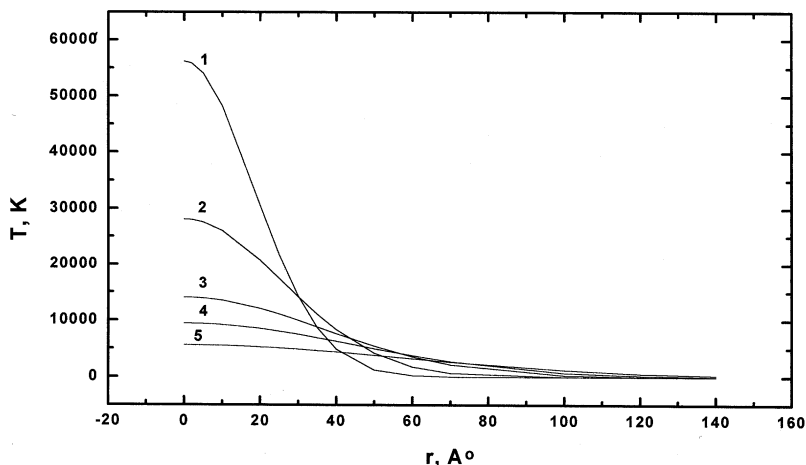


Рис.4. Зависимость температуры $T = T_i - T_{\text{ нач}}$ от расстояния от оси трека r в различные моменты времени: 1 - $t_1=10^{-13}$ с, 2 - $t_2=2\times10^{-13}$ с, 3 - $t_3=4\times10^{-13}$ с, 4 - $t_4=6\times10^{-13}$ с, 5 - $t_5=10^{-12}$ с

4. ВЫВОДЫ

При изучении аморфного сплава $\text{Ni}_{58}\text{Nb}_{42}$, облученного ионами ^{86}Kr с энергией 245 МэВ до флюенсов 10^{13} , 10^{14} и 10^{15} ион/ см^2 и ионами ^{209}Bi с энергией 705 МэВ до флюенсов 10^{12} и 10^{13} ион/ см^2 , получен ряд интересных результатов.

Исследования атомного сплава $\text{Ni}_{58}\text{Nb}_{42}$ при облучении ионами ^{86}Kr с энергией 245 МэВ позволили установить, что существенно изменяется структура его поверхности, а именно характерный волнистый рельеф, возникший при изготовлении сплава, уменьшается и дробится и приобретает вид чешуйчатой структуры.

Кроме того, происходит распухание аморфного сплава, которое при флюенсе 10^{15} ион/ см^2 достигает $\sim 15\%$. При этом образовавшиеся при изготовлении сплава капли расплава сохраняют свое положение, а прилегающие к ним области распухают, смешаясь навстречу падающему ионному пучку. На основании обнаруженной "чешуйчатой" структуры

облученной поверхности можно сделать вывод о том, что происходит ступенчатое, а не плоскостное увеличение объема.

Изучение элементного состава облученного аморфного сплава $\text{Ni}_{58}\text{Nb}_{42}$ при двух флюенсах облучения 10^{14} и 10^{15} ион/ cm^2 показало, что элементный состав также изменяется, а именно, на поверхности увеличивается концентрация атомов Nb и уменьшается концентрация атомов Ni. Эти изменения можно объяснить процессами распыления атомов с поверхности облучаемого сплава по механизму испарения.

Выполненные оценки и вычисления температур в треке тяжелых ионов ^{86}Kr по имеющимся в настоящее время аналитическим выражениям и численными методами показали, что температура на оси трека превышает температуры испарения и плавления аморфного сплава в течение времен, достаточных для испарения атомов с поверхности.

Тем не менее, не вполне понятны различия при сравнении полученных в данной работе данных по распуханию с более ранними результатами, представленными в работах [1-4]. Именно поэтому крайне целесообразно продолжение исследований, в особенности при облучении ионами с более высокими ионизационными потерями энергии.

ЛИТЕРАТУРА

1. A.Gutzmann, S.Klaumünzer, P.Meier. Ion-beam-induced surface instability of glassy $\text{Fe}_{40}\text{Ni}_{40}\text{B}_{20}$ //Phys. Rev. Lett. 1995, v.74, №12, p.2256-2259.
2. A.Gutzmann, S.Klaumünzer. Shape instability of amorphous materials during high-energy ion bombardment// Nucl. Instr. and Meth. in Phys. Res. B. 1997, v.127/128, p.12-17.
3. H.Kuch, S.Klaumünzer. Magneto-optical study of flux-line pinning in semiconductors with linear defects// Nucl. Instr. and Meth. in Phys. Res. B. 1998, v.146, №1-4, p.565-571.
4. S.Klaumünzer. Radiation compaction of porous Vycor glass// Nucl. Instr. and Meth. in Phys. Res. B. 2000, v.166-167, p.459-464.
5. M.Toulemonde, A.Meftah, J.M.Constantini, K.Schwartz, C.Trautmann. Out-of plan swelling of gadolinium gallium garnet induced by swift heavy ions // Nucl. Instr. and Meth. in Phys. Res. B. 1998, v.146, p.426-430.

6. C.Trautmann, C.Dufour, E.Paumier, R.Spoerl, M.Toulemonde. Track etching in amorphous metallic $Fe_{81}B_{13,5}Si_{3,5}C_2$ // *Nucl. Instr. and Meth. in Phys. Res. B*. 1996, v.107, p.397-402.
7. A.Audouard, E.Balanzat, J.C.Jousset, D.Lesueur, L.Tomé. Atomic displacements and atomic motion induced by electron excitation in heavy-ion-irradiated amorphous metallic alloys// *J. Phys: Condens. Matter*, 1995, v.5, №5, p.995-1018.
8. Ю.Ц.Оганесян, С.Н.Дмитриев, А.Ю.Дидык, Г.Г.Гульбекян, В.Б.Кутнер. Новые возможности ускорительного комплекса ЛЯР им.Г.Н.Флерова в производстве трековых мембран// *Радиационная физика твердого тела*. Труды X Межнационального совещания, Севастополь, 3-8 июля 2000 г., М., 2000, с.42-50.
9. V.A.Skuratov, A.Illés, Z.Illés, K.Bodnar, A.Yu.Didyk, A.V.Arkhipov, K.Havancsák. Beam diagnostics and data acquisition system for ion beam transport line used in applied research. //JINR Communication E13-99-161, Dubna, 1999, 8 p.
10. Yu.Yavlinskii. Track formation in amorphous metals under swift heavy ion bombardment// *Nucl. Instr. and Meth. in Phys. Res. B*. 1998, v.146, №1-4, p.142-146.
11. M.Toulemonde. Nanometric phase transformation of oxide materials under GeV energy heavy ion irradiation// *Nucl. Instrum.and Meth. in Phys.Res. B*. 1999, v.156, №1-4, p.1-11.
12. Я.Е.Гегузин, М.И.Каганов, И.М.Лифшиц. Влияние длины свободного пробега электронов на образование трека вокруг траектории заряженной частицы в металле// *Физика твердого тела*. 1973, т.15, №8, с.2425-2428.
13. И.М.Лифшиц, М.И.Каганов, Л.В.Танатаров. К теории радиационных изменений в металлах// *Атомная энергия*. 1959, т. 6, №4, р.391-402.
14. А.А.Давыдов, А.И.Калиниченко. Механические эффекты вблизи ионных треков и термических пиков// *Вопросы атомной науки и техники*. Сер.: *Физика радиационных повреждений и радиационное материаловедение*. Москва, 1985, вып.3(36), с.27-30.
15. А.Ю.Дидык. Радиационное воздействие тяжелых ионов на хромоникелевую сталь при высоких температурах// *Известия РАН. Металлы*. 1995, №3, с.128-135.
16. M.Nastasi, J.W.Mayer. Ion beam mixing and liquid interdiffusion.// *Radiat. Eff. and Defects in Solids*, 1994, v.130-131, p.367-385.
17. Д.В.Куликов, А.Л.Суворов, Р.А.Сурис, Ю.В.Трушин, В.С.Харламов. Физическая модель формирования периодической структуры на поверхности пиролитического графита при высокоэнергетическом ионном облучении // *Письма в ЖТФ*. 1993, т.23, №14, с.89-93.

**Влияние облучения тяжелыми ионами высоких энергий
на структурные изменения в аморфных сплавах**

Выполнены исследования аморфного сплава $\text{Ni}_{58}\text{Nb}_{42}$ при облучении тяжелыми ионами ^{86}Kr с энергией 245 МэВ до флюенсов $F \cdot t = 10^{13}, 10^{14}$ и 10^{15} ион/ см^2 . Изучение образцов до и после облучения выполнено на сканирующем электронном микроскопе JSM-840 и туннельном сканирующем микроскопе на воздухе. Кроме того, проведены измерения размеров образцов до и после облучения. Обнаружено, что облученные образцы увеличились в объеме (распухли) до $\approx 15\%$ (при флюенсе $F \cdot t = 10^{15}$ ион/ см^2). По изменению структуры поверхности сделан вывод, что процесс распухания образцов имеет не плоскостной, а ступенчатый характер. Обнаружено также относительно небольшое изменение концентрации компонентов сплава $\text{Ni}_{58-x}\text{Nb}_{42+x}$, где $x \approx 1.6$ при флюенсе облучения $F \cdot t = 10^{15}$ ион/ см^2 . Этот факт свидетельствует, что при воздействии быстрых тяжелых ионов наряду с процессами распухания аморфных сплавов необходимо учитывать и процессы испарения атомов с поверхности образцов.

Работа выполнена в Лаборатории ядерных реакций им. Г. Н. Флерова ОИЯИ.

Препринт Объединенного института ядерных исследований. Дубна, 2002

Перевод авторов

Didyk A. Yu. et al.

P14-2002-239

Structural Evolution in Amorphous Alloys
under High-Energy Heavy Ion Irradiation

The structural studies of the $\text{Ni}_{58}\text{Nb}_{42}$ amorphous alloy under heavy ^{86}Kr ion irradiation with fluences up to $F \cdot t = 10^{13}, 10^{14}$ and 10^{15} ion/ cm^2 have been carried out. The sample surfaces both before and after ion irradiation have been studied by scanning electron microscope JSM-840 and air scanning tunneling microscope. Moreover the sample sizes before and after irradiation were measured. It was shown that the volume of as-irradiated samples increased up to 15 %. The surface studies suggest that the swelling process exhibit rather stepwise than plane character. The small changes of content concentration in amorphous alloy $\text{Ni}_{58-x}\text{Nb}_{42+x}$, where $x \approx 1.6$, at ion fluence of $F \cdot t = 10^{15}$ ion/ cm^2 were also observed. This fact suggests that along with the swelling processes it is necessary to take into account the evaporation processes from sample surface under swift heavy ion action.

The investigation has been performed at the Flerov Laboratory of Nuclear Reactions, JINR.

Редактор *М. И. Зарубина*
Макет *Н. А. Киселевой*

Подписано в печать 04.11.2002.

Формат 60 × 90/16. Бумага офсетная. Печать офсетная.
Усл. печ. л. 0,69. Уч.-изд. л. 0,75. Тираж 290 экз. Заказ № 53602.

Издательский отдел Объединенного института ядерных исследований
141980, г. Дубна, Московская обл., ул. Жолио-Кюри, 6.

E-mail: publish@pds.jinr.ru
www1.jinr.ru